

18 Mb (512 K × 36/1 M × 18) 流水线 DCD 同步 SRAM

特性

- 支持总线的运行速度高达 200 MHz
- 可用速度为 200 MHz 和 167 MHz
- 流水线操作的输入和输出寄存器
- 优化于性能（双周期取消选择）
- 无需等待状态的深入宽展
- 3.3 V 内核电源 (V_{DD})
- 2.5 V 或 3.3 V 的 I/O 供电电源 (V_{DDQ})
- 快速的时钟至输出的时间
 - 3 ns（对于 200 MHz 器件）
- 提供了高性能的 3-1-1-1 访问速率
- 用户可选的突发计数器支持交错或线性突发序列
- 独立的处理器和控制器地址选通
- 同步自定时写入
- 异步输出使能
- CY7C1386KV33 适用于 JEDEC 标准无铅 100-TQFP。
CY7C1387KV33 适用于 JEDEC 标准无铅 100-TQFP。
- 支持 ZZ 睡眠模式选项

功能描述

CY7C1386KV33/CY7C1387KV33 SRAM 集成了 512 K × 36/1 M × 18 SRAM 单元、先进的同步外围电路和用于内部突发操作的 2 位计数器。通过上升沿上触发的时钟输入（CLK）所控制的寄存器对所有同步输入进行门控。同步输入包括所有地址、所有数据输入、地址流水线芯片使能（ \overline{CE}_1 ）、深度扩展芯片使能（ \overline{CE}_2 和 \overline{CE}_3 ）、突发控制输入（ \overline{ADSC} 、 \overline{ADSP} 、和 \overline{ADV} ）、写使能（ \overline{BW}_X 和 \overline{BWE} ）以及全局写入（ \overline{GW} ）。异步输入包括输出使能（ \overline{OE} ）和 ZZ 引脚。

当地址探针处理器（ \overline{ADSP} ）或地址探针控制器（ \overline{ADSC} ）处于活动状态时，地址和芯片使能信号都被寄存在时钟的上升沿上。当 Advance 引脚（ \overline{ADV} ）控制后续突发地址时，会内部生成它们。

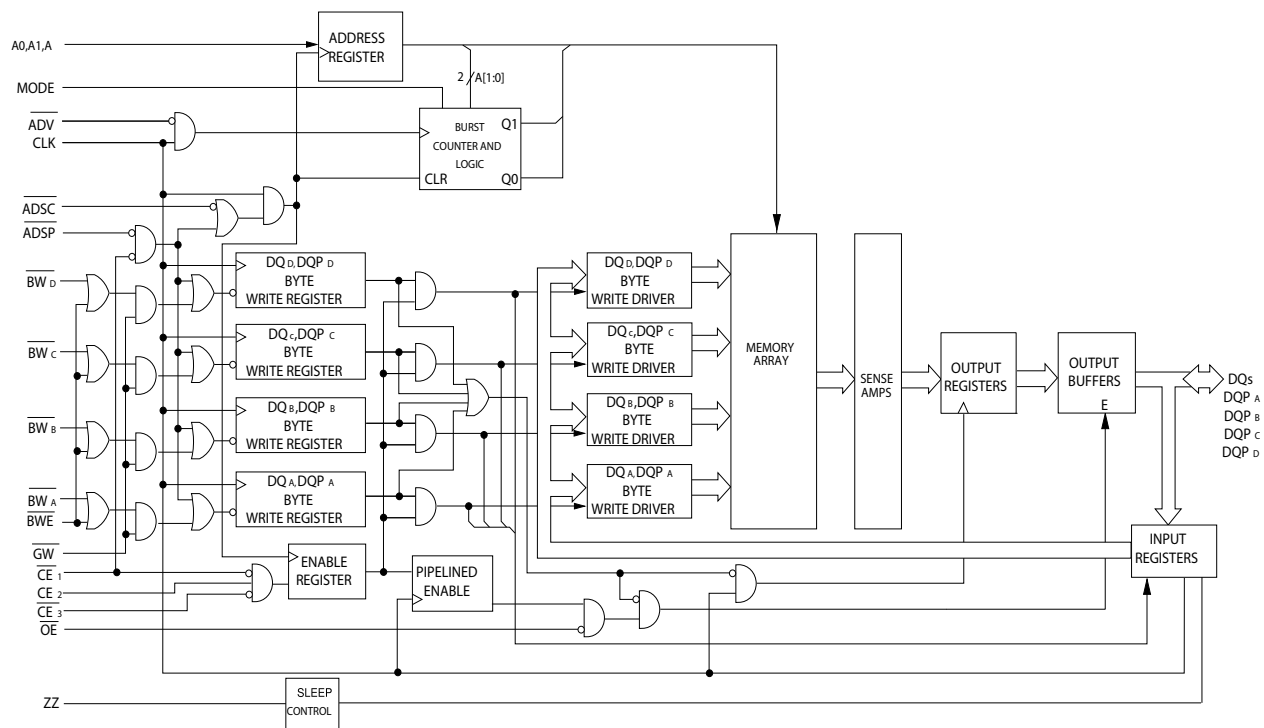
地址、数据输入和写控制被寄存在芯片上，以便初始自定时写周期。该器件支持字节写操作（欲了解更详细的信息，请参考第 5 页上的引脚配置和第 9 页上的真值表）。当字节写控制输入控制写周期时，该周期的宽度可以是一至四个字节。当 \overline{GW} 为低电平有效时，将对所有字节进行写操作。该器件包含了一个附加的流水线使能寄存器，当执行一个取消选择指令时，它会延长关闭输出的时间，并提供额外的一个缓冲周期。通过该特性可以进行深入扩展而不会影响到系统的性能。

CY7C1386KV33/CY7C1387KV33 运行时的内核供电电压等于或高于 +3.3 V，而所有输出运行时的供电电压为 +2.5 或 +3.3 V。所有输入和输出都符合 JEDEC 标准和 JESD8-5 标准。

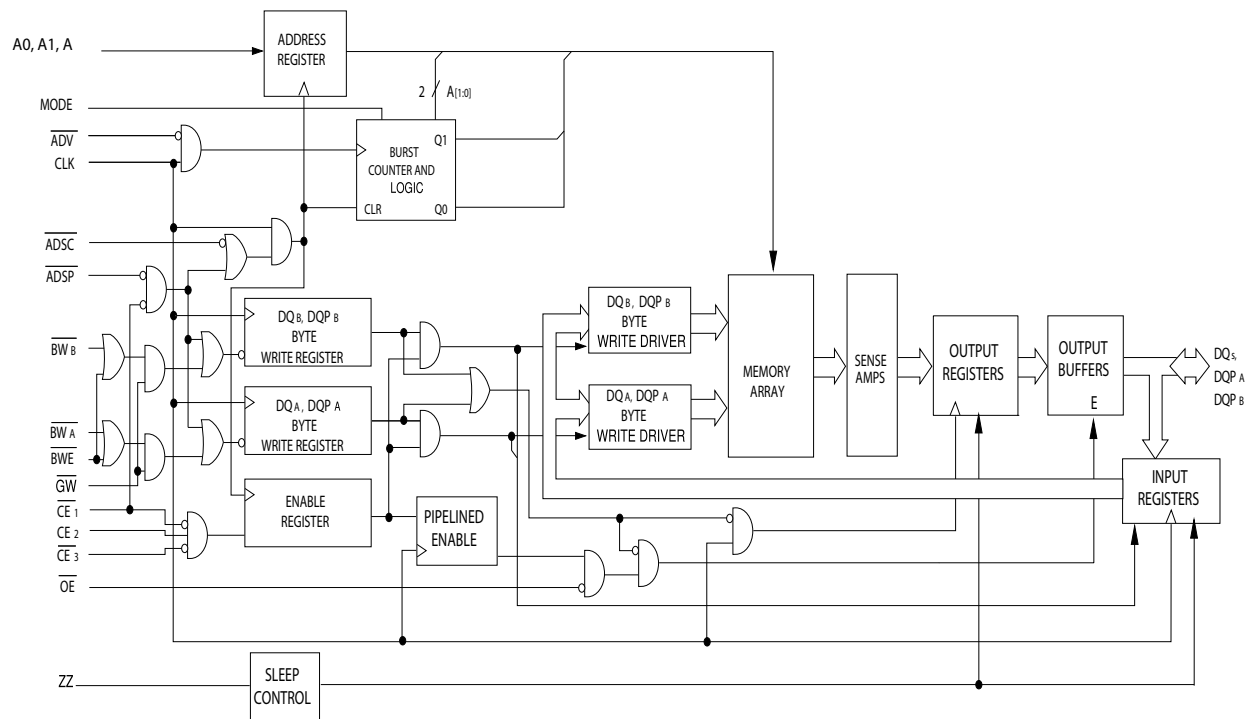
产品选择指南

| 说明 | | 200 MHz | 167 MHz | 单位 |
|--------|------|---------|---------|----|
| 最长访问时间 | | 3.0 | 3.4 | ns |
| 最大工作电流 | × 18 | 158 | 143 | mA |
| | × 36 | 178 | 163 | |

逻辑框图 — CY7C1386KV33



逻辑框图 — CY7C1387KV33

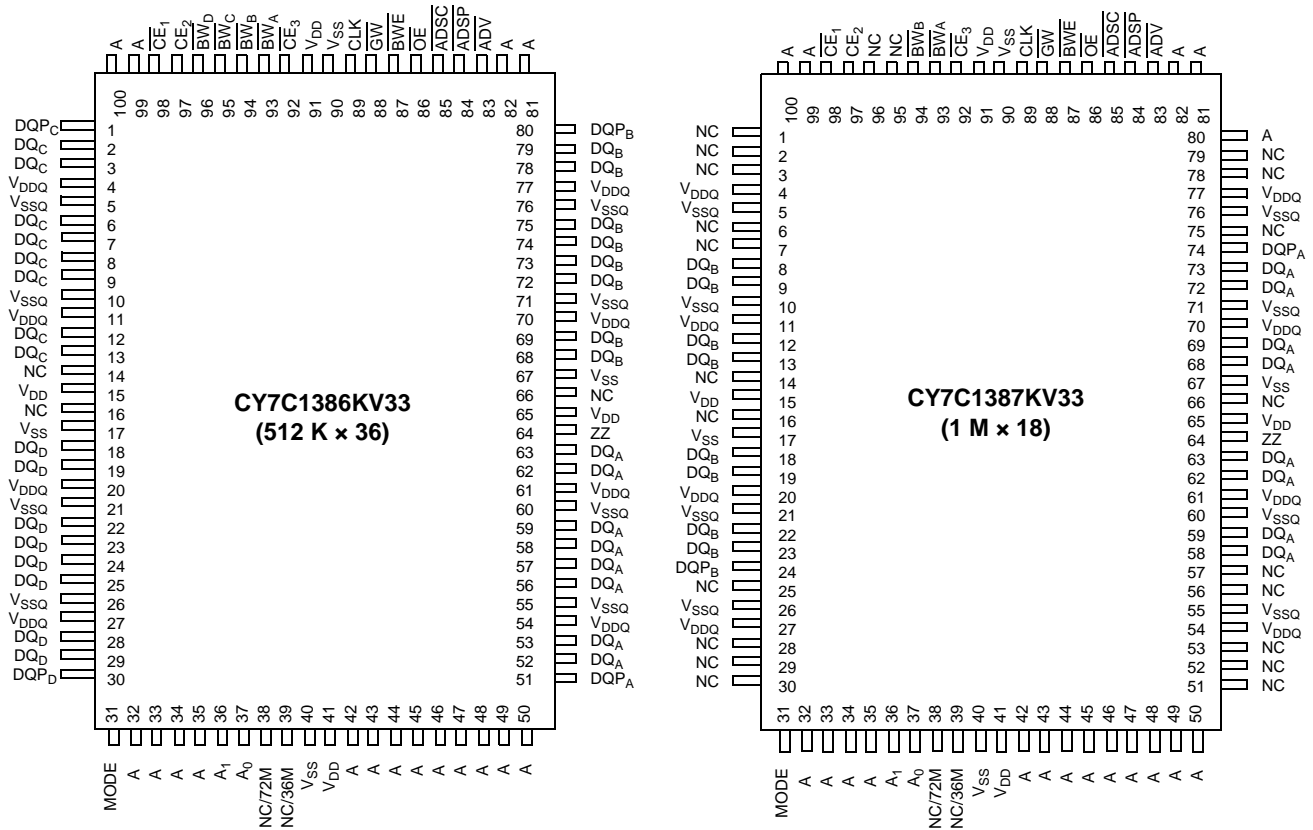


目录

| | | | |
|----------------------|----|--------------------|----|
| 引脚配置 | 5 | 电容 | 13 |
| 引脚定义 | 6 | 热阻抗 | 13 |
| 功能概述 | 7 | 交流测试负载和波形 | 13 |
| 单一读访问 | 7 | 切换特性 | 14 |
| ADSP 启动的单一写入访问 | 7 | 切换波形 | 15 |
| ADSC 启动的单一写入访问 | 7 | 订购信息 | 19 |
| 突发序列 | 7 | 订购代码定义 | 19 |
| 睡眠模式 | 8 | 封装图 | 20 |
| 交错突发地址表 | 8 | 缩略语 | 21 |
| 线性突发地址表 | 8 | 文档常规 | 21 |
| ZZ 模式的电气特性 | 8 | 测量单位 | 21 |
| 真值表 | 9 | 文档修订记录 | 22 |
| 读 / 写操作的真值表 | 10 | 销售、解决方案和法律信息 | 23 |
| 读 / 写操作真值表 | 10 | 全球销售和设计支持 | 23 |
| 最大额定值 | 11 | 产品 | 23 |
| 工作范围 | 11 | PSoC® 解决方案 | 23 |
| 抗中子软失效 | 11 | 赛普拉斯开发者社区 | 23 |
| 电气特性 | 11 | 技术支持 | 23 |

引脚配置

图 1. 100-TQFP (14 × 20 × 1.4 mm) 引脚分布 (3 芯片使能)



引脚定义

| 名称 | I/O | 说明 |
|--|----------|---|
| A ₀ 、A ₁ 、A | 输入 同步 | 用于选择地址的地址输入。如果 $\overline{\text{ADSP}}$ 或 $\overline{\text{ADSC}}$ 为低电平有效，这些输入将采样在 CLK 的上升沿上，并 CE ₁ 、CE ₂ 和 CE ₃ 被有效采样。A ₁ :A ₀ 将输入到 2 位计数器。 |
| $\overline{\text{BW}}_{\text{A}}$ 、 $\overline{\text{BW}}_{\text{B}}$ $\overline{\text{BW}}_{\text{C}}$ 、 $\overline{\text{BW}}_{\text{D}}$ | 输入 同步 | 低电平有效的字节写选择输入。同 $\overline{\text{BWE}}$ 结合使用，用于将字节写入到 SRAM 内。在 CLK 时钟的上升沿上被采样。 |
| $\overline{\text{GW}}$ | 输入 同步 | 低电平有效的全局写使能输入。当在 CLK 上升沿上将该输入置为低电平时，将会执行全局写入（可以写入所有字节，无论 $\overline{\text{BW}}_{\text{X}}$ 和 $\overline{\text{BWE}}$ 上的值如何）。 |
| $\overline{\text{BWE}}$ | 输入 同步 | 低电平有效的字节写入使能输入。在 CLK 时钟的上升沿上被采样。必须将该信号置为低电平，以执行字节写入。 |
| CLK | 时钟输入 | 时钟输入。用于将所有同步输入捕获到器件内。另外，在进行突发操作期间，当 $\overline{\text{ADV}}$ 被置为低电平时，可以使用该输入来递增突发计数器。 |
| $\overline{\text{CE}}_1$ | 输入 同步 | 低电平有效的芯片使能 1 输入。在 CLK 时钟的上升沿上被采样。同 CE ₂ 和 $\overline{\text{CE}}_3$ 一起使用时，可以选择或取消选择器件。如果 $\overline{\text{CE}}_1$ 为高电平，则忽略 $\overline{\text{ADSP}}$ 。只有加载了新的外部地址时， $\overline{\text{CE}}_1$ 才被采样。 |
| CE ₂ | 输入 同步 | 高电平有效的芯片使能 2 输入。在 CLK 时钟的上升沿上被采样。同 $\overline{\text{CE}}_1$ 和 $\overline{\text{CE}}_3$ 一起使用时，可以选择或取消选择器件。只有加载了新的外部地址时，CE ₂ 才被采样。 |
| $\overline{\text{CE}}_3$ | 输入 同步 | 低电平有效的芯片使能 3 输入。在 CLK 时钟的上升沿上被采样。同 $\overline{\text{CE}}_1$ 和 CE ₂ 一起使用时，可以选择或取消选择器件。只有加载了新的外部地址时， $\overline{\text{CE}}_3$ 才被采样。 |
| $\overline{\text{OE}}$ | 异步输入 | 输出使能，异步输入，低电平有效。用于控制 I/O 引脚的方向。被置为低电平时，I/O 引脚作为输出使用。取消置为高电平有效时，各 DQ 引脚均为三态，并作为输入数据引脚使用。 $\overline{\text{OE}}$ 退出取消选择状态后，在读周期的第一个时钟周期，该信号被屏蔽。 |
| $\overline{\text{ADV}}$ | 输入 同步 | 高级输入信号在 CLK 时钟的上升沿上被采样，低电平有效。被激活时，它将自动递增突发周期中的地址。 |
| $\overline{\text{ADSP}}$ | 输入 同步 | 处理器中的地址探针，在 CLK 时钟的上升沿上被采样，低电平有效。被置为低电平时，发送到器件的地址将在地址寄存器中被捕获。还会将 A ₁ :A ₀ 加载到突发计数器中。 $\overline{\text{ADSP}}$ 和 $\overline{\text{ADSC}}$ 均被激活时，只有 $\overline{\text{ADSP}}$ 被检测。 $\overline{\text{CE}}_1$ 被置为高电平时， $\overline{\text{ADSP}}$ 被忽略。 |
| $\overline{\text{ADSC}}$ | 输入 同步 | 控制器中的地址探针，在 CLK 时钟的上升沿上被采样，低电平有效。被置为低电平时，将在地址寄存器中捕获发送到器件的地址。还会将 A ₁ :A ₀ 加载到突发计数器中。 $\overline{\text{ADSP}}$ 和 $\overline{\text{ADSC}}$ 均被激活时，只有 $\overline{\text{ADSP}}$ 被检测。 |
| ZZ | 异步输入 | ZZ “睡眠” 输入，高电平有效。该引脚被置为高电平时，器件会处于非时间关键睡眠状态，并保存数据的完整性。正常工作时，必须将该引脚设为低电平。ZZ 引脚具有内部下拉电阻。 |
| DQs、DQP _X | 同步 I/O | 双向数据 I/O 线。作为输入使用时，这些线将数据发送到片上数据寄存器内，该操作在 CLK 的上升沿上触发。作为输出使用时，在读周期的前一个时钟上升沿内，它们将发送存储器中所存地址指定位置上的数据。这些引脚的方向由 $\overline{\text{OE}}$ 控制。将 $\overline{\text{OE}}$ 置为低电平时，这些引脚作为输出使用。将该信号置为高电平时，DQs 和 DQP _X 都处于三态。 |
| V _{DD} | 电源 | 器件内核的电源输入。 |
| V _{SS} | 接地 | 器件内核的接地引脚。 |
| V _{SSQ} | I/O 接地 | I/O 电路的接地引脚。 |
| V _{DDQ} | I/O 供电电源 | I/O 电路的电源电压。 |

引脚定义 (续)

| 名称 | I/O | 说明 |
|---------------------------------------|------|--|
| MODE | 静态输入 | 选择突发顺序。 连接到 GND 时, 将选择线性突发序列。被连接到 V_{DD} 或处于悬空状态时, 将选择交错突发序列。这是一个短接 (strap) 引脚, 并在器件运行时应保持该引脚的静态状态。Mode 引脚具有一个内部上拉电阻。 |
| NC | — | 无连接。 该引脚未被内部连接到芯片。 |
| NC/ (36 M、72 M、144 M、288 M、576 M、1 G) | — | 未连接这些引脚。 在芯片容量扩展为 36 M、72 M、144 M、288 M、576 M 以及 1 G 的情况下将使用这些引脚。 |

功能概述

所有同步输入均通过由时钟的上升沿控制的输入寄存器。所有数据输出均通过时钟的上升沿控制的输出寄存器。

CY7C1386KV33/CY7C1387KV33 支持各个采用了线性或交错突发序列的系统中的辅助缓存。线性突发序列适用于使用线性突发序列的处理器。用户可以选择突发顺序, 并通过采样 MODE 输入可以确定该顺序。通过处理器地址选通 (ADSP) 或控制器地址选通 (ADSC) 开始进行访问。ADV 输入控制突发序列的地址增加。2 位的片上环绕式突发计数器捕获突发序列中的第一个地址, 并自动递增其余突发访问的地址。

字节写操作取决于字节写使能 (\overline{BWE}) 和字节写选择 ($\overline{BW_X}$) 输入。全局写使能 (\overline{GW}) 覆盖了所有字节写输入, 并将数据写入到所有四个字节内。通过片上同步自定时写电路, 可轻松实现所有写操作。

该器件提供了各个同步芯片选择: $\overline{CE_1}$ 、 $\overline{CE_2}$ 、 $\overline{CE_3}$ 以及一个异步输出使能 (\overline{OE}), 从而很容易能够进行组选择和输出三态控制。如果 $\overline{CE_1}$ 为高电平, 将忽略 ADSP。

单一读访问

如果在时钟上升沿上满足以下条件, 将启动该访问: (1) \overline{ADSP} 或 \overline{ADSC} 被置为低电平, (2) 各个芯片选择均有效, (3) 写信号 (\overline{GW} , \overline{BWE}) 被取消置为高电平。如果 $\overline{CE_1}$ 为高电平, 则 ADSP 将被忽略。发送到地址输入的地址被存储在地址增加逻辑和地址寄存器中, 同时被发送到存储器内核中。相应数据被传输到输出寄存器的输入端。在下一个时钟的上升沿上, 如果 \overline{OE} 为低电平有效, 那么数据将在 t_{CO} 时长内通过输出寄存器发送到数据总线上。只能发生一个例外的是, 当 SRAM 从取消选择状态转到选择状态时, 其输出在第一次访问周期内一直处于三态。第一次访问周期结束后, \overline{OE} 信号会控制这些输出。连续的单一读取周期得到支持。

CY7C1386KV33/CY7C1387KV33 是一个双周期取消选择器件。SRAM 在时钟上升沿上被取消选择 (由芯片选择和 ADSP 或 ADSC 信号引起) 时, 在下一个时钟的上升沿后, 其输出将立即变为三态。

ADSP 启动的单一写入访问

如果在时钟上升沿上能够满足下面两个条件, 那么将启动写访问: (1) \overline{ADSP} 为低电平; (2) 芯片选择为有效。所发送的地址将被加载到地址寄存器和地址递增逻辑中, 同时被传输到存储器内核。在第一个周期内, 会忽略各个写信号 (\overline{GW} 、 \overline{BWE} 以及 $\overline{BW_X}$) 和 ADV 输入。

ADSP 触发的写访问需要占用两个时钟周期来完成。如果 \overline{GW} 在第二个时钟上升沿上被置为低电平, 那么发送到 DQ_X 输入端的数据将被写入到存储器内核中相应的地址。如果 \overline{GW} 为高电平, 那么 \overline{BWE} 和 $\overline{BW_X}$ 的信号将控制写操作。

CY7C1386KV33/CY7C1387KV33 提供了字节写入功能, 如写周期说明表中的内容所述。如果置位字节写入使能输入 (\overline{BWE}) 和所选的字节写入输入, 将会对所需的字节进行写操作。字节写入操作中未选中的字节将保持不变。通过所提供的同步自定时写入机制, 可以轻松进行写操作。

由于 CY7C1386KV33/CY7C1387KV33 是通用 I/O 器件, 所以将数据发送到 DQ 输入前, 必须将输出使能 (\overline{OE}) 取消置为高电平。这样可使输出驱动模块处于三态。为安全起见, 无论 \overline{OE} 的状态如何, 每次检测到写周期时, DQ 将自动进入三态。

ADSC 启动的单一写入访问

满足以下各个条件时, 会启动 \overline{ADSC} 写访问: (1) \overline{ADSC} 被置为低电平, (2) \overline{ADSP} 被取消置为高电平, (3) 芯片选择有效, (4) 写输入的相应组合 (\overline{GW} 、 \overline{BWE} 和 $\overline{BW_X}$) 被激活, 以便对所需字节进行写操作。想要完成 ADSC 触发的写访问, 需要占用一个时钟周期。所发送的地址将被加载到地址寄存器和地址递增逻辑中, 同时被传输到存储器内核。在该周期内, ADV 输入将被忽略。如果执行全局写操作, 发送至 DQ_X 的数据将被写入到存储器内核中相应地址内。如果执行了字节写入, 则只会写入被选中的字节。字节写入操作中未选中的字节将保持不变。通过所提供的同步自定时写入机制, 可以轻松进行写操作。

由于 CY7C1386KV33/CY7C1387KV33 是通用 I/O 器件, 所以将数据发送到 DQ_X 输入前, 必须将输出使能 (\overline{OE}) 取消置为高电平。这样可使输出驱动模块处于三态。为安全起见, 无论 \overline{OE} 的状态如何, 每次检测到写周期时, DQ_X 将自动进入三态。

突发序列

CY7C1386KV33/CY7C1387KV33提供了2位包裹计数器： $A_{[1:0]}$ 将输入到该计数器中，它会实现交错或线性突发序列。用户可以通过 MODE 输入选择突发序列。

如果在时钟上升沿上将 \overline{ADV} 设置为低电平，则突发计数器会自动增加到突发序列中的下一个地址。读取和写入突发操作均受支持。

睡眠模式

ZZ 输入引脚是一个异步输入。激活 ZZ 后，SRAM 将进入节能的睡眠模式。进入或退出睡眠模式，需要占用两个时钟周期。在该模式中，数据完整性得到保证。不将进入睡眠模式时被挂起的访问视为有效访问，同时不能确保完成该操作。进入睡眠模式之前，必须取消选择该器件。ZZ 输入为低电平后，在 t_{ZZREC} 时间内，CE、ADSP 和 ADSC 必须保持无效状态。

交错突发地址表

(MODE = 悬空或 V_{DD})

| 第一个地址 A1:A0 | 第二个地址 A1:A0 | 第三个地址 A1:A0 | 第四个地址 A1:A0 |
|----------------|----------------|----------------|----------------|
| 00 | 01 | 10 | 11 |
| 01 | 00 | 11 | 10 |
| 10 | 11 | 00 | 01 |
| 11 | 10 | 01 | 00 |

线性突发地址表

(MODE = GND)

| 第一个地址 A1:A0 | 第二个地址 A1:A0 | 第三个地址 A1:A0 | 第四个地址 A1:A0 |
|----------------|----------------|----------------|----------------|
| 00 | 01 | 10 | 11 |
| 01 | 10 | 11 | 00 |
| 10 | 11 | 00 | 01 |
| 11 | 00 | 01 | 10 |

ZZ 模式的电气特性

| 参数 | 说明 | 测试条件 | 最小值 | 最大值 | 单位 |
|-------------|------------------|--------------------------|------------|------------|----|
| I_{DDZZ} | 睡眠模式下的待机电流 | $ZZ \geq V_{DD} - 0.2 V$ | — | 65 | mA |
| t_{ZZS} | 器件从运行状态到进入 ZZ 模式 | $ZZ \geq V_{DD} - 0.2 V$ | — | $2t_{CYC}$ | ns |
| t_{ZZREC} | ZZ 恢复时间 | $ZZ \leq 0.2 V$ | $2t_{CYC}$ | — | ns |
| t_{ZZI} | ZZ 从活动状态到进入睡眠电流的 | 该参数被采样 | — | $2t_{CYC}$ | ns |
| t_{RZZI} | 从 ZZ 置为低电平到器件退出睡 | 采样数据 | 0 | — | ns |

真值表

下面显示的是 CY7C1386KV33 和 CY7C1387KV33 的真值表。[1、2、3、4、5]

| 说明 | 使用的地址 | \overline{CE}_1 | \overline{CE}_2 | \overline{CE}_3 | ZZ | \overline{ADSP} | \overline{ADSC} | \overline{ADV} | \overline{WRITE} | \overline{OE} | CLK | DQ |
|-----------|-------|-------------------|-------------------|-------------------|----|-------------------|-------------------|------------------|--------------------|-----------------|-----|----|
| 取消选择周期、断电 | 无 | H | X | X | L | X | L | X | X | X | L-H | 三态 |
| 取消选择周期、断电 | 无 | L | L | X | L | L | X | X | X | X | L-H | 三态 |
| 取消选择周期、断电 | 无 | L | X | H | L | L | X | X | X | X | L-H | 三态 |
| 取消选择周期、断电 | 无 | L | L | X | L | H | L | X | X | X | L-H | 三态 |
| 取消选择周期、断电 | 无 | L | X | H | L | H | L | X | X | X | L-H | 三态 |
| 睡眠模式、断电 | 无 | X | X | X | H | X | X | X | X | X | X | 三态 |
| 读周期、开始传输 | 外部地址 | L | H | L | L | L | X | X | X | L | L-H | Q |
| 读周期、开始传输 | 外部地址 | L | H | L | L | L | X | X | X | H | L-H | 三态 |
| 写周期、开始传输 | 外部地址 | L | H | L | L | H | L | X | L | X | L-H | D |
| 读周期、开始传输 | 外部地址 | L | H | L | L | H | L | X | H | L | L-H | Q |
| 读周期、开始传输 | 外部地址 | L | H | L | L | H | L | X | H | H | L-H | 三态 |
| 读周期、继续传输 | 下一个地址 | X | X | X | L | H | H | L | H | L | L-H | Q |
| 读周期、继续传输 | 下一个地址 | X | X | X | L | H | H | L | H | H | L-H | 三态 |
| 读周期、继续传输 | 下一个地址 | H | X | X | L | X | H | L | H | L | L-H | Q |
| 读周期、继续传输 | 下一个地址 | H | X | X | L | X | H | L | H | H | L-H | 三态 |
| 写入周期、继续传输 | 下一个地址 | X | X | X | L | H | H | L | L | X | L-H | D |
| 写入周期、继续传输 | 下一个地址 | H | X | X | L | X | H | L | L | X | L-H | D |
| 读周期、停止传输 | 当前地址 | X | X | X | L | H | H | H | H | L | L-H | Q |
| 读周期、停止传输 | 当前地址 | X | X | X | L | H | H | H | H | H | L-H | 三态 |
| 读周期、停止传输 | 当前地址 | H | X | X | L | X | H | H | H | L | L-H | Q |
| 读周期、停止传输 | 当前地址 | H | X | X | L | X | H | H | H | H | L-H | 三态 |
| 写周期、停止传输 | 当前地址 | X | X | X | L | H | H | H | L | X | L-H | D |
| 写周期、停止传输 | 当前地址 | H | X | X | L | X | H | H | L | X | L-H | D |

注释:

1. X = 无需关注, H = 逻辑高电平, L = 逻辑低电平。
2. 当信号使能写入任意一个或多个字节和 $\overline{BWE} = L$ 或 $\overline{GW} = L$ 时, $\overline{WRITE} = L$ 。所有字节写入使能信号、 \overline{BWE} 、 $\overline{GW} = H$ 时, $\overline{WRITE} = H$ 。
3. DQ 引脚由当前周期和 \overline{OE} 信号控制。 \overline{OE} 是异步信号,并不在时钟边沿上被采样。
4. 无论 \overline{GW} 、 \overline{BWE} 或 \overline{BW}_x 的状态如何,激活 \overline{ADSP} 时, SRAM 始终会启动读周期。 \overline{ADSP} 或 \overline{ADSC} 被激活后,在后续时钟周期中才能发生写操作。因此,启动写周期前,必须将 \overline{OE} 驱动为高电平,这样才能使输出处于三态。启动写周期后, \overline{OE} 的状态为“无需关注”。
5. \overline{OE} 是异步信号,并且不在时钟上升沿上被采样。该信号在写周期中被内部屏蔽。在读周期中, \overline{OE} 无效或取消选择器件时,所有数据位均是三态的;而 \overline{OE} 为低电平有效时,所有数据位均作为输出使用。

读 / 写操作的真值表

CY7C1382KV33 读 / 写操作的真值表如下所示。[6、7]

| 函数 (CY7C1386KV33) | \overline{GW} | \overline{BWE} | $\overline{BW_D}$ | $\overline{BW_C}$ | $\overline{BW_B}$ | $\overline{BW_A}$ |
|--|-----------------|------------------|-------------------|-------------------|-------------------|-------------------|
| 读取 | H | H | X | X | X | X |
| 读取 | H | L | H | H | H | H |
| 写入字节 A — (DQ _A 和 DQP _A) | H | L | H | H | H | L |
| 写入字节 B — (DQ _B 和 DQP _B) | H | L | H | H | L | H |
| 写入字节 B、A | H | L | H | H | L | L |
| 写入字节 C — (DQ _C 和 DQP _C) | H | L | H | L | H | H |
| 写入字节 C、A | H | L | H | L | H | L |
| 写入字节 C、B | H | L | H | L | L | H |
| 写入字节 C、B 以及 A | H | L | H | L | L | L |
| 写入字节 D — (DQ _D 和 DQP _D) | H | L | L | H | H | H |
| 写入字节 D 和 A | H | L | L | H | H | L |
| 写入字节 D 和 B | H | L | L | H | L | H |
| 写入字节 D、B 以及 A | H | L | L | H | L | L |
| 写入字节 D 和 C | H | L | L | L | H | H |
| 写入字节 D、C 以及 A | H | L | L | L | H | L |
| 写入字节 D、C 以及 B | H | L | L | L | L | H |
| 写入所有字节 | H | L | L | L | L | L |
| 写入所有字节 | L | X | X | X | X | X |

读 / 写操作真值表

CY7C1387KV33 读 / 写操作的真值表如下所示。[6、7]

| 函数 (CY7C1387KV33) | \overline{GW} | \overline{BWE} | $\overline{BW_B}$ | $\overline{BW_A}$ |
|--|-----------------|------------------|-------------------|-------------------|
| 读取 | H | H | X | X |
| 读取 | H | L | H | H |
| 写入字节 A — (DQ _A 和 DQP _A) | H | L | H | L |
| 写入字节 B — (DQ _B 和 DQP _B) | H | L | L | H |
| 写入所有字节 | H | L | L | L |
| 写入所有字节 | L | X | X | X |

注释:

- DQ 引脚由当前周期和 \overline{OE} 信号控制。 \overline{OE} 是异步信号，并非在时钟边沿上被采样。
- 该表仅列出了字节写入组合的一部分。 \overline{BW}_X 的任何组合都有效。根据有效的字节写入，将执行相应的写操作。

最大额定值

超过最大额定值可能会缩短器件的使用寿命。用户指南未经过测试。

存放温度 -65 °C 至 +150 °C
 通电状态下的环境温度 -55 °C 至 +125 °C
 V_{DD} 上相对于 GND 的供电电压 -0.5 V 至 4.6 V
 V_{DDQ} 上相对于 GND 的供电电压 -0.5 V 至 V_{DD}
 应用于三态模式下的输出
 直流电压 -0.5 V 至 $V_{DDQ} + 0.5$ V
 直流输入电压 -0.5 V 至 $V_{DD} + 0.5$ V
 输出电流（低电平） 20 mA
 静电放电电压
 （根据 MIL-STD-883, 方法 3015） > 2001 V
 闩锁电流 > 200 mA

工作范围

| 范围 | 环境温度 | V_{DD} | V_{DDQ} |
|-----|---------------|-------------------|-----------------------|
| 商业级 | 0 °C ~ +70 °C | 3.3 V – 5% / +10% | 2.5 V – 5% ~ V_{DD} |

抗中子软失效

| 参数 | 说明 | 测试条件 | 典型值 | 最大值 * | 单位 |
|---------------------|---------|-------|-----|-------|---------|
| LSBU (无 ECC 的器件) | 逻辑单比特错误 | 25 °C | 197 | 216 | FIT/Mb |
| LMBU | 逻辑多比特错误 | 25 °C | 0 | 0.01 | FIT/Mb |
| SEL | 单粒子闩锁 | 85 °C | 0 | 0.1 | FIT/Dev |

* 测试期间未出现 LMBU 或 SEL 事件; 该列为统计得出的 χ^2 , 按 95% 置信区间计算。如需详细信息, 请参考应用笔记 AN 54908 “加速抗中子 SER 测试和陆生故障率的计算”。

电气特性

在工作范围内

| 参数 [8、9] | 说明 | 测试条件 | 最小值 | 最大值 | 单位 |
|-----------|-------------------------|-------------------------------------|-------|------------------|---------|
| V_{DD} | 供电电压 | | 3.135 | 3.6 | V |
| V_{DDQ} | I/O 供电电压 | 3.3 V I/O | 3.135 | V_{DD} | V |
| | | 2.5 V I/O | 2.375 | 2.625 | V |
| V_{OH} | 输出高电压 | 3.3 V I/O, $I_{OH} = -4.0$ mA | 2.4 | – | V |
| | | 2.5 V I/O, $I_{OH} = -1.0$ mA | 2.0 | – | V |
| V_{OL} | 输出低电压 | 3.3 V I/O, $I_{OL} = 8.0$ mA | – | 0.4 | V |
| | | 2.5 V I/O, $I_{OL} = 1.0$ mA | – | 0.4 | V |
| V_{IH} | 输出高电压 [8] | 3.3 V I/O | 2.0 | $V_{DD} + 0.3$ V | V |
| | | 2.5 V I/O | 1.7 | $V_{DD} + 0.3$ V | V |
| V_{IL} | 输出低电压 [8] | 3.3 V I/O | –0.3 | 0.8 | V |
| | | 2.5 V I/O | –0.3 | 0.7 | V |
| I_X | 输入漏电流 (ZZ 和 MODE 除外) | $GND \leq V_I \leq V_{DDQ}$ | –5 | 5 | μ A |
| | MODE 的输入电流 | 输入 = V_{SS} | –30 | – | μ A |
| | | 输入 = V_{DD} | – | 5 | μ A |
| | ZZ 的输入电流 | 输入 = V_{SS} | –5 | – | μ A |
| | | 输入 = V_{DD} | – | 30 | μ A |
| I_{OZ} | 输出漏电流 | $GND \leq V_I \leq V_{DDQ}$, 输出被禁用 | –5 | 5 | μ A |

注释:

8. 过冲: $V_{IH(AC)} < V_{DD} + 1.5$ V (脉冲宽度小于 $t_{CYC}/2$), 下冲: $V_{IL(AC)} > -2$ V (脉冲宽度小于 $t_{CYC}/2$)。

9. $T_{Power-up}$: 假设从 0 V 的电压线性上升至 $V_{DD(min)}$ 最少占用 200 ms。在此期间, $V_{IH} < V_{DD}$ 和 $V_{DDQ} \leq V_{DD}$ 。

电气特性 (续)

在工作范围内

| 参数 [8、9] | 说明 | 测试条件 | | | 最小值 | 最大值 | 单位 |
|-----------|----------------------|---|------------------|------|-----|-----|----|
| I_{DD} | V_{DD} 的工作电流 | $V_{DD} = \text{最大值}, I_{OUT} = 0 \text{ mA}, f = f_{MAX} = 1/t_{CYC}$ | 5 ns 周期, 200 MHz | × 18 | — | 180 | mA |
| | | | | × 36 | — | 200 | |
| | | | 6 ns 周期, 167 MHz | × 18 | — | 158 | |
| | | | | × 36 | — | 178 | |
| I_{SB1} | 自动 CE 断电电流 — TTL 输入 | 最大 V_{DD} , 取消选择器件, $V_{IN} \geq V_{IH}$ 或 $V_{IN} \leq V_{IL}$, $f = f_{MAX} = 1/t_{CYC}$ | 5 ns 周期, 200 MHz | × 18 | — | 75 | mA |
| | | | | × 36 | — | 80 | |
| | | | 6 ns 周期, 167 MHz | × 18 | — | 75 | |
| | | | | × 36 | — | 80 | |
| I_{SB2} | 自动 CE 断电电流 — CMOS 输入 | 最大 V_{DD} , 取消选择器件, $V_{IN} \leq 0.3 \text{ V}$ 或 $V_{IN} \geq V_{DDQ} - 0.3 \text{ V}$, $f = 0$ | 所有速度范围 | × 18 | — | 65 | mA |
| | | | | × 36 | — | 70 | |
| I_{SB3} | 自动 CE 断电电流 — CMOS 输入 | 最大 V_{DD} , 取消选择器件, $V_{IN} \leq 0.3 \text{ V}$ 或 $V_{IN} \geq V_{DDQ} - 0.3 \text{ V}$, $f = f_{MAX} = 1/t_{CYC}$ | 5 ns 周期, 200 MHz | × 18 | — | 75 | mA |
| | | | | × 36 | — | 80 | |
| | | | 6 ns 周期, 167 MHz | × 18 | — | 75 | |
| | | | | × 36 | — | 80 | |
| I_{SB4} | 自动 CE 断电电流 — TTL 输入 | 最大 V_{DD} , 取消选择器件, $V_{IN} \geq V_{IH}$ 或 $V_{IN} \leq V_{IL}$, $f = 0$ | 所有速度范围 | × 18 | — | 65 | mA |
| | | | | × 36 | — | 70 | |

电容

| 参数 | 说明 | 测试条件 | 100-TQFP 封装 | 单位 |
|-----------|-----------|---|-------------|----|
| C_{IN} | 输入电容 | $T_A = 25\text{ }^{\circ}\text{C}$, $f = 1\text{ MHz}$, $V_{DD} = 3.3\text{ V}$, $V_{DDQ} = 2.5\text{ V}$ | 5 | pF |
| C_{CLK} | 时钟输入电容 | | 5 | pF |
| C_{IO} | 输入 / 输出电容 | | 5 | pF |

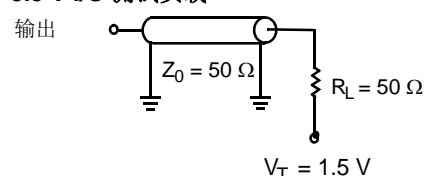
热阻抗

| 参数 | 说明 | 测试条件 | | 100-TQFP 封装 | 单位 |
|---------------|-----------|---|-------------|----------------|------|
| Θ_{JA} | 热阻抗（结至环境） | 根据 EIA/JESD51 的要求，测试条件遵循测试热阻的标准测试方法和过程。 | 无气流（0 m/s） | 37.95 | °C/W |
| | | | 存在气流（1 m/s） | 33.19 | °C/W |
| | | | 存在气流（3 m/s） | 30.44 | °C/W |
| Θ_{JB} | 热阻抗（结至板） | | -- | 24.07 | °C/W |
| Θ_{JC} | 热阻抗（结到外壳） | | 8.36 | °C/W | |

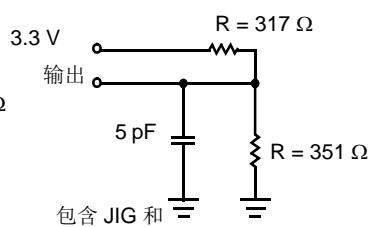
交流测试负载和波形

图 2. 交流测试负载和波形

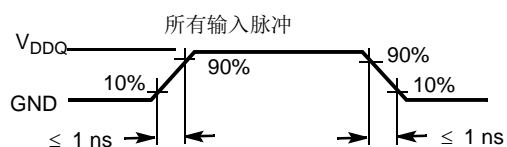
3.3 V I/O 测试负载



(a)

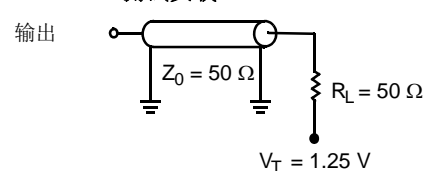


(b)

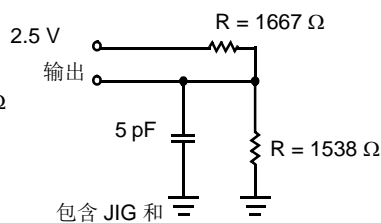


(c)

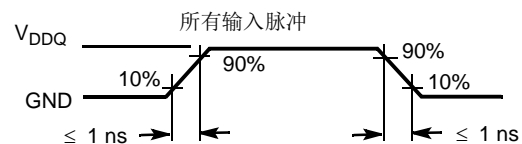
2.5 V I/O 测试负载



(a)



(b)



(c)

切换特性

在工作范围内

| 参数 ^[10、11] | 说明 | -200 | | -167 | | 单位 |
|-----------------------|---|------|-----|------|-----|----|
| | | 最小值 | 最大值 | 最小值 | 最大值 | |
| t_{POWER} | 从电压为 V_{DD} （典型值）到第一次访问的时间 ^[12] | 1 | — | 1 | — | ms |
| 时钟 | | | | | | |
| t_{CYC} | 时钟周期时间 | 5.0 | — | 6.0 | — | ns |
| t_{CH} | 时钟为高电平的时间 | 2.0 | — | 2.2 | — | ns |
| t_{CL} | 时钟为低电平的时间 | 2.0 | — | 2.2 | — | ns |
| 输出时间 | | | | | | |
| t_{CO} | CLK 上升沿后数据输出有效的时间 | — | 3.0 | — | 3.4 | ns |
| t_{DOH} | CLK 上升沿后数据输出的保持时间 | 1.3 | — | 1.3 | — | ns |
| t_{CLZ} | 从时钟上升沿到数据输入 / 输出为低阻态的时间 ^[13、14、15] | 1.3 | — | 1.3 | — | ns |
| t_{CHZ} | 从时钟上升沿到数据总线（Q）转为高阻态的时间 ^[13、14、15] | — | 3.0 | — | 3.4 | ns |
| $t_{OE\overline{V}}$ | 从 \overline{OE} 为低电平到输出有效的时间 | — | 3.0 | — | 3.4 | ns |
| $t_{OE\overline{LZ}}$ | \overline{OE} 为低电平到输出为低阻态的时间 ^[13、14、15] | 0 | — | 0 | — | ns |
| $t_{OE\overline{HZ}}$ | \overline{OE} 为高电平到输出为高阻态的时间 ^[13、14、15] | — | 3.0 | — | 3.4 | ns |
| 建立时间 | | | | | | |
| t_{AS} | CLK 上升沿前的地址建立时间 | 1.4 | — | 1.5 | — | ns |
| t_{ADS} | CLK 上升沿前的 \overline{ADSC} 、 \overline{ADSP} 建立时间 | 1.4 | — | 1.5 | — | ns |
| t_{ADVS} | CLK 上升沿前的 \overline{ADV} 建立时间 | 1.4 | — | 1.5 | — | ns |
| t_{WES} | CLK 上升沿前的 \overline{GW} 、 \overline{BWE} 、 \overline{BW}_X 建立时间 | 1.4 | — | 1.5 | — | ns |
| t_{DS} | CLK 上升沿前的数据输入建立时间 | 1.4 | — | 1.5 | — | ns |
| t_{CES} | CLK 上升沿前的芯片使能建立时间 | 1.4 | — | 1.5 | — | ns |
| 保持时间 | | | | | | |
| t_{AH} | CLK 上升沿后的地址保持时间 | 0.4 | — | 0.5 | — | ns |
| t_{ADH} | CLK 上升沿后的 \overline{ADSP} 、 \overline{ADSC} 保持时间 | 0.4 | — | 0.5 | — | ns |
| t_{ADVH} | CLK 上升沿后的 \overline{ADV} 保持时间 | 0.4 | — | 0.5 | — | ns |
| t_{WEH} | CLK 上升沿后 \overline{GW} 、 \overline{BWE} 、 \overline{BW}_X 保持的时间 | 0.4 | — | 0.5 | — | ns |
| t_{DH} | CLK 上升沿后数据输入保持时间 | 0.4 | — | 0.5 | — | ns |
| t_{CEH} | CLK 上升沿过后芯片使能的保持时间 | 0.4 | — | 0.5 | — | ns |

注释:

10. $V_{DDQ} = 3.3\text{ V}$ 时, 时序参考电压为 1.5 V; $V_{DDQ} = 2.5\text{ V}$ 时, 时序参考电压为 1.25 V。

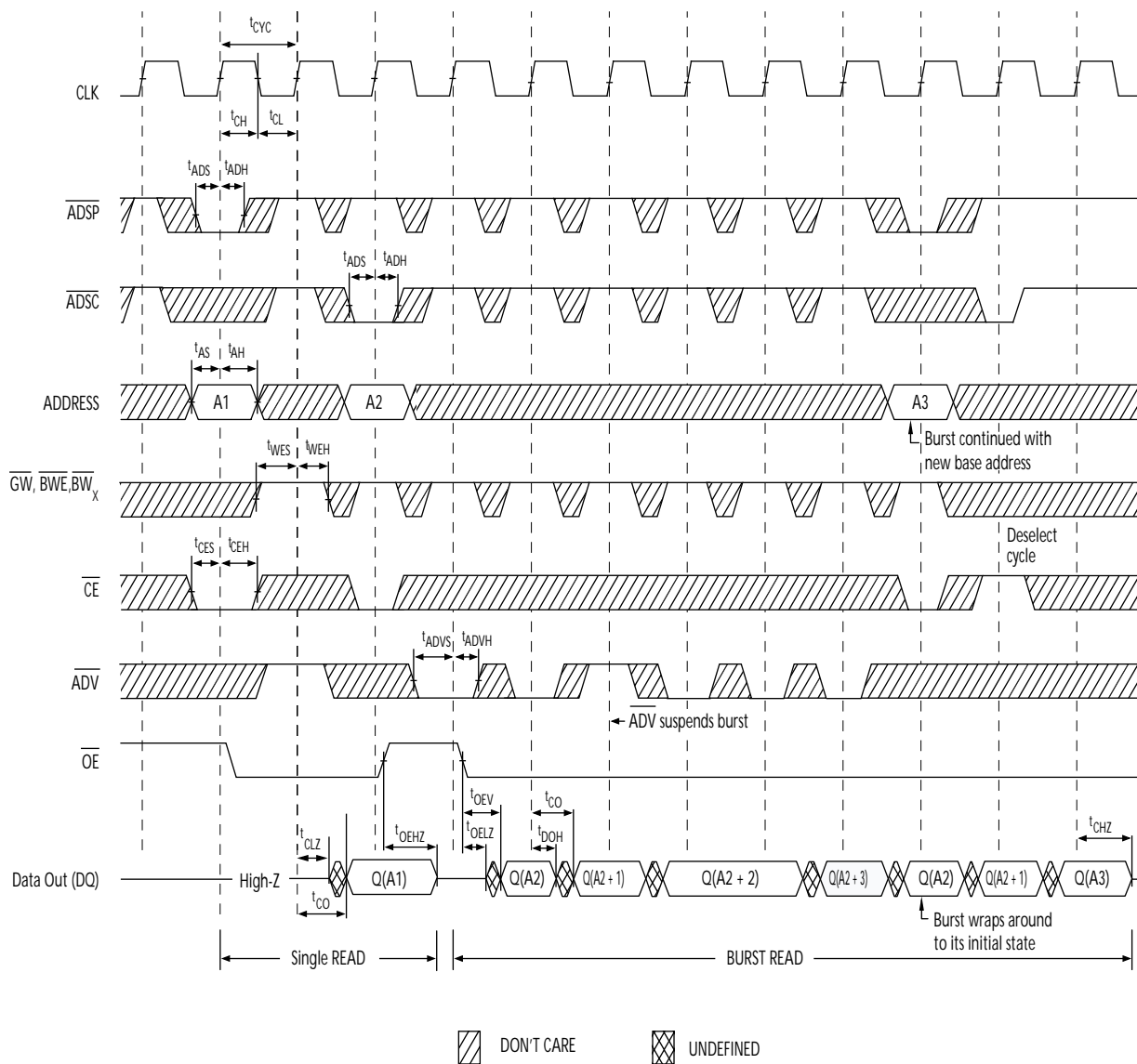
11. 除非另有说明, 否则测试条件都如第 13 页上的图 2 的 (a) 情况显示。

12. 该器件内部拥有一个电压调节器; t_{POWER} 是指启动读操作或写操作前所提供的电源必须大于 V_{DD} （最小值）所需的时间。

13. t_{CHZ} 、 t_{CLZ} 、 $t_{OE\overline{LZ}}$ 以及 $t_{OE\overline{HZ}}$ 都在第 13 页上的图 2 的 (b) 情况所示的交流电测试条件下指定的。跃变在稳定状态电压 $\pm 200\text{ mV}$ 的条件下测量。

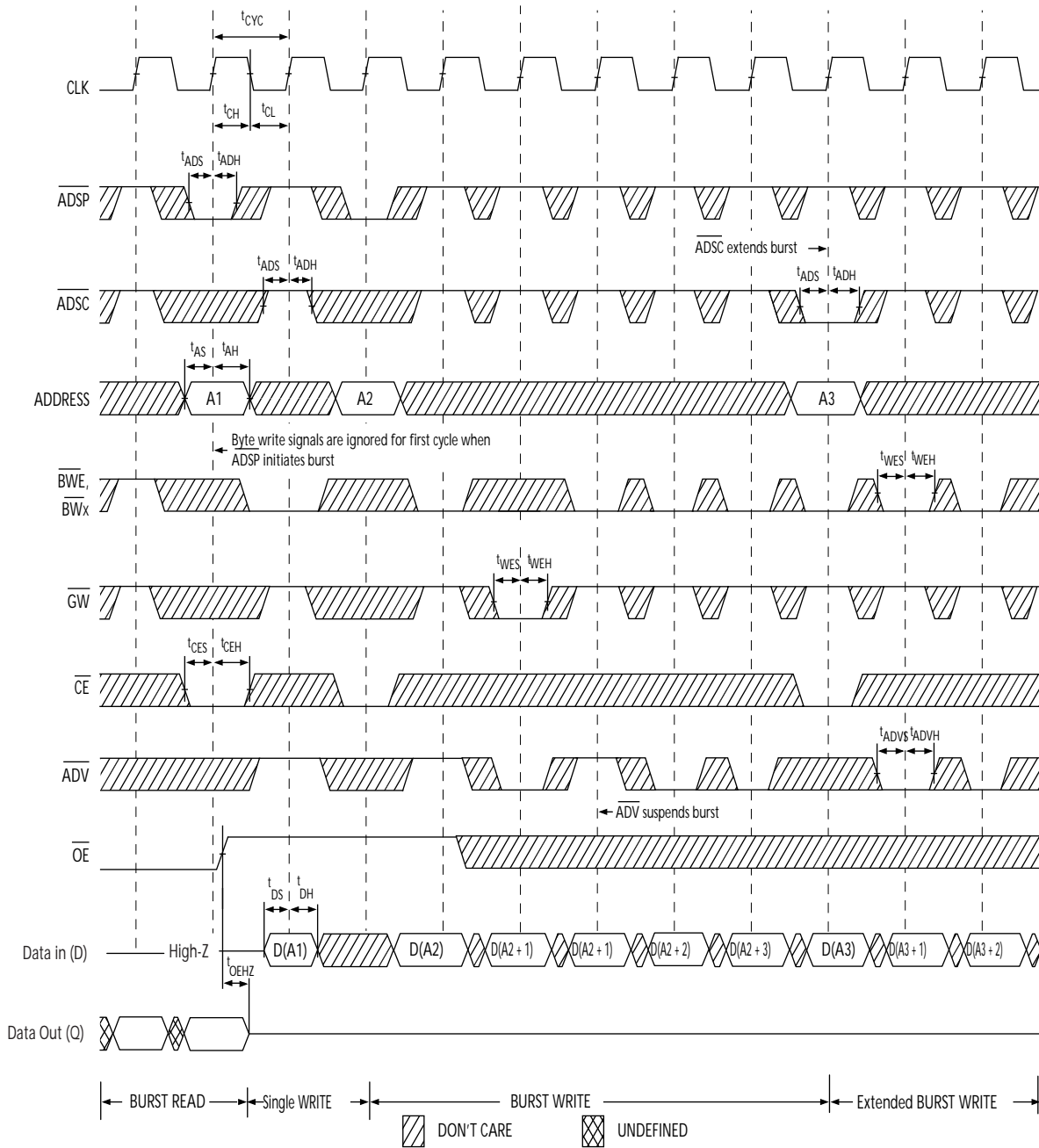
14. 在任何给定的电压和温度中, $t_{OE\overline{HZ}}$ 小于 $t_{OE\overline{LZ}}$, t_{CHZ} 小于 t_{CLZ} , 这样在共享同一个数据总线时可以排除各 SRAM 间的总线冲突。这些规范并不表示一个总线冲突条件, 但反映了在最坏情况下得到保证的参数。器件设计是为了在同一个系统条件下进入低阻态前先进入高阻态。

15. 该参数定期采样, 并非 100% 经过了测试。



切换波形 (续)

图 4. 写周期时序 [17、18]

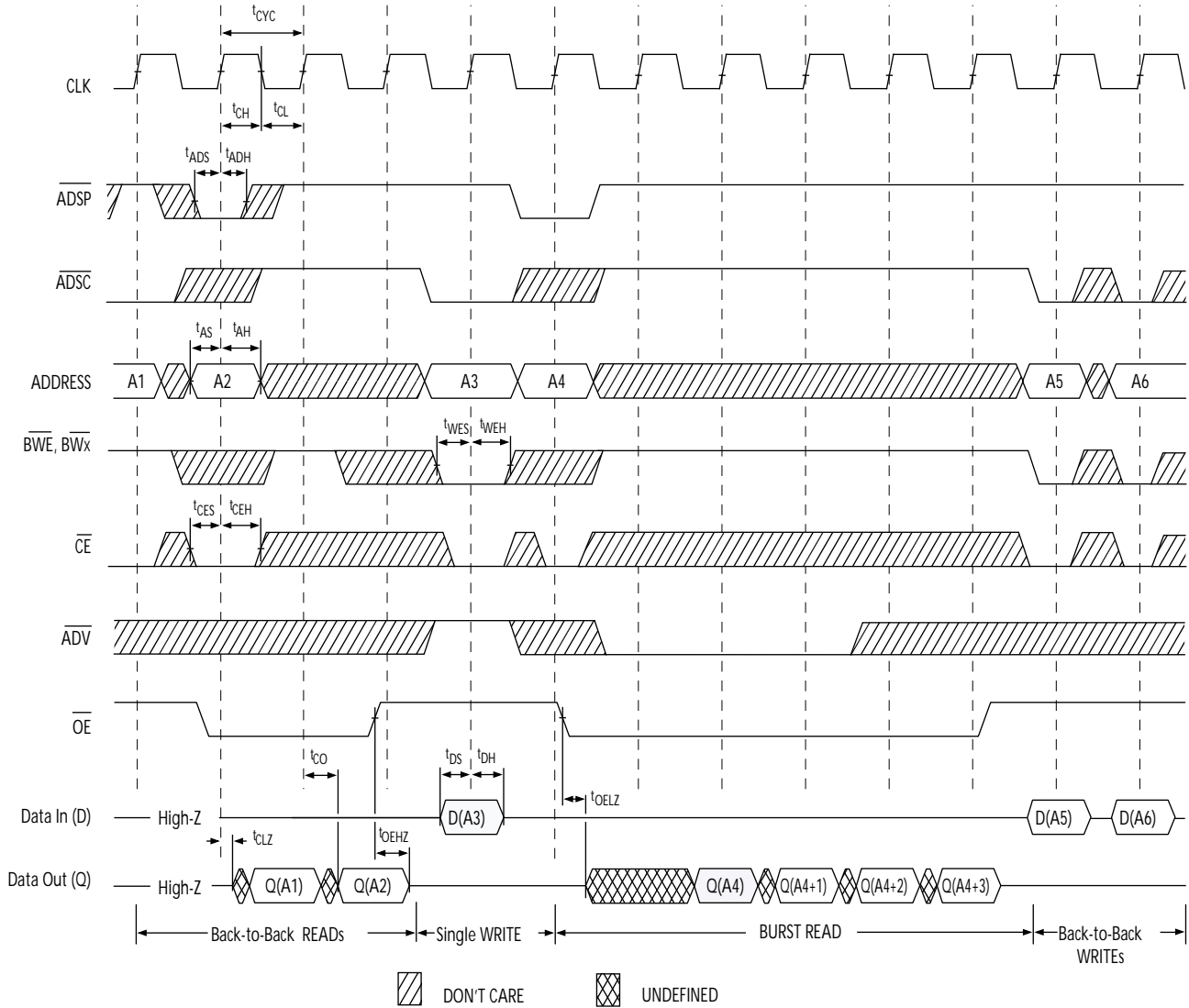


注释:

17. 在该框图中, 当 \overline{CE} 为低电平时: \overline{CE}_1 为低电平, CE_2 为高电平, 另外 \overline{CE}_3 为低电平。如果 \overline{CE} 为高电平: \overline{CE}_1 为高电平, 或 CE_2 为低电平, 或 \overline{CE}_3 为高电平。
18. 通过将 \overline{GW} 设为低电平, 或将 \overline{GW} 设为高电平、 \overline{BWE} 以及 \overline{BW}_x 设为低电平, 可以启动全宽写周期。

切换波形 (续)

图 5. 读 / 写周期时序 [19、20、21]



注释:

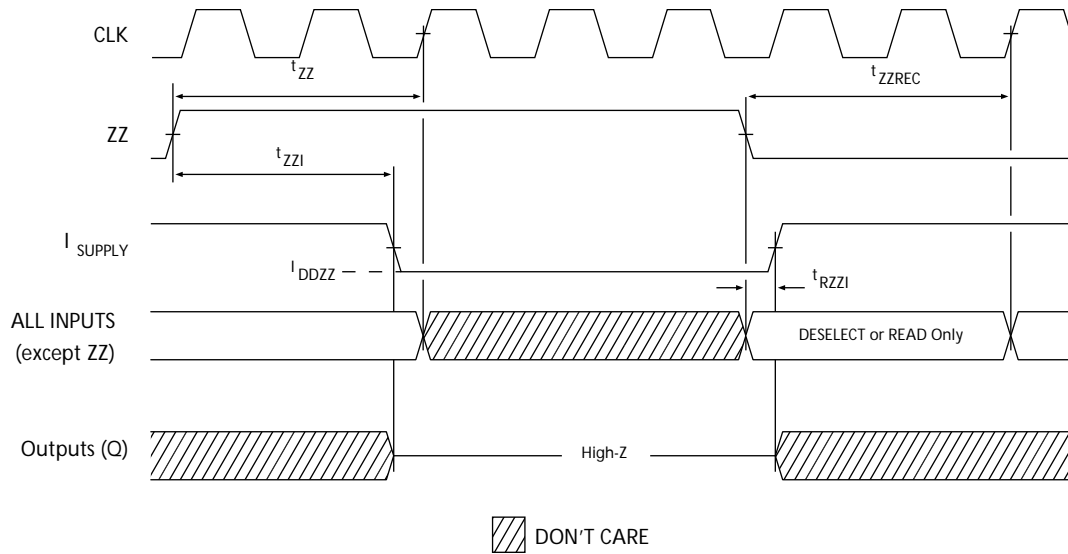
19. 在该框图中, 当 \overline{CE} 为低电平时: \overline{CE}_1 为低电平, CE_2 为高电平, 另外 \overline{CE}_3 为低电平。当 \overline{CE} 为高电平时: \overline{CE}_1 为高电平, 或 CE_2 为低电平, 或 \overline{CE}_3 为高电平。

20. 如果一个新读取访问并非由 \overline{ADSP} 或 \overline{ADSC} 启动, 那么写周期发生后, 数据总线 (Q) 一直处于高阻态。

21. GW 为高电平。

切换波形 (续)

图 6. ZZ 模式时序 [22、23]



注释:

22. 进入 ZZ 模式时, 必须取消选择该器件。有关取消选择器件的所有可能信号条件, 请参考周期说明表。
23. 退出 ZZ 睡眠模式时, DQ 处于高阻态。

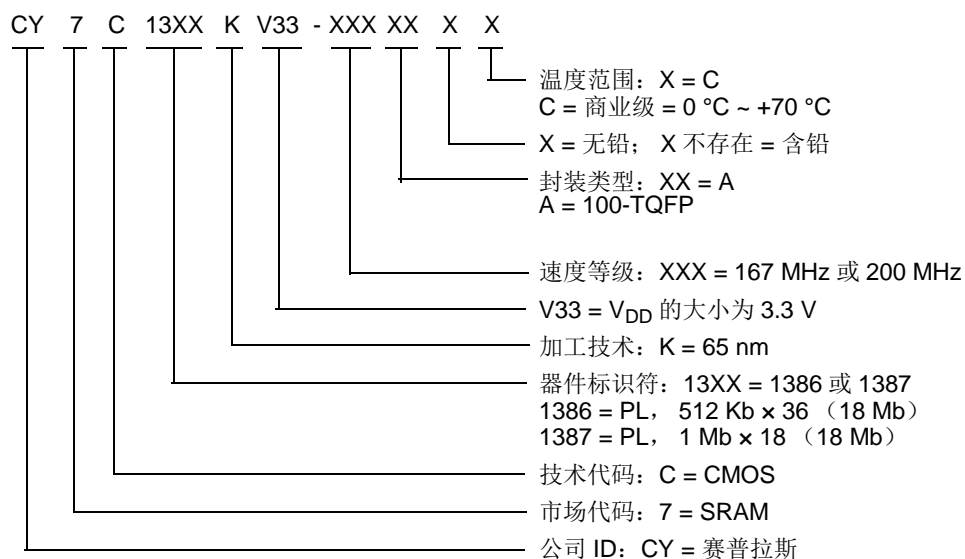
订购信息

下表仅包含了当前可用的器件。如果您未能找到所需的器件，请与您当地销售代表联系。如需更多信息，请访问赛普拉斯公司网站 www.cypress.com，并参考 <http://www.cypress.com/products> 上的产品总结页。

赛普拉斯公司拥有一个由办事处、解决方案中心、工厂代表和经销商组成的全球性网络。要查找离您最近的办事处，请访问 <http://www.cypress.com/go/datasheet/offices>。

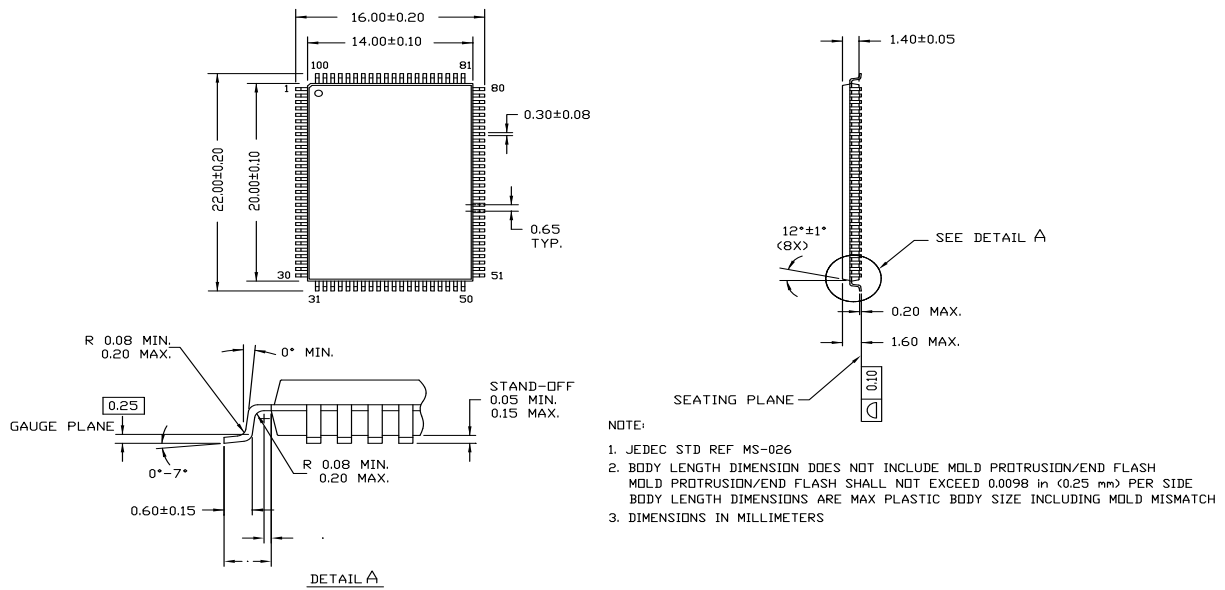
| 速度 (MHz) | 订购代码 | 封装图 | 器件和封装类型 | 工作范围 |
|-------------|---------------------|----------|--------------------------------|------|
| 167 | CY7C1386KV33-167AXC | 51-85050 | 100-TQFP (14 × 20 × 1.4 mm) 无铅 | 商业级 |
| | CY7C1387KV33-167AXC | | | |
| 200 | CY7C1386KV33-200AXC | 51-85050 | 100-TQFP (14 × 20 × 1.4 mm) 无铅 | 商业级 |

订购代码定义



封装图

图 10. 100-TQFP (14 × 20 × 1.4 mm) A100RA 封装外形, 51-85050



51-85050 *E

缩略语

| 缩略语 | 说明 |
|------------------------|-------------|
| CE | 芯片使能 |
| CMOS | 互补金属氧化物半导体 |
| FBGA | 小间距球栅阵列 |
| I/O | 输入 / 输出 |
| LMBU | 逻辑多比特错误 |
| LSB | 最低有效位 |
| LSBU | 逻辑单比特错误 |
| MSB | 最高有效位 |
| $\overline{\text{OE}}$ | 输出使能 |
| SEL | 单粒子门锁 |
| SRAM | 静态随机存取存储器 |
| TQFP | 薄型四方扁平封装 |
| TTL | 晶体管 - 晶体管逻辑 |

文档常规

测量单位

| 符号 | 测量单位 |
|---------------|------|
| °C | 摄氏度 |
| k Ω | 千欧姆 |
| MHz | 兆赫兹 |
| μA | 微安 |
| μs | 微秒 |
| mA | 毫安 |
| mV | 毫伏 |
| mm | 毫米 |
| ms | 毫秒 |
| ns | 纳秒 |
| Ω | 欧姆 |
| % | 百分比 |
| pF | 皮法 |
| ps | 皮秒 |
| V | 伏特 |
| W | 瓦特 |

文档修订记录

| 文档标题: CY7C1386KV33/CY7C1387KV33, 18 Mb (512 K × 36/1 M × 18) 流水线 DCD 同步 SRAM 文档编号: 001-98224 | | | | |
|---|---------|------|------------|---------------------------------------|
| 版本 | ECN | 变更者 | 提交日期 | 变更说明 |
| ** | 4854103 | LISZ | 07/27/2015 | 本文档版本号为 Rev**, 译自英文版 001-97893 Rev**。 |
| *A | 5013020 | LISZ | 11/16/2015 | 本文档版本号为 Rev*A, 译自英文版 001-97893 Rev*B。 |

销售、解决方案和法律信息

全球销售和设计支持

赛普拉斯公司具有一个由办事处、解决方案中心、厂商代表和经销商组成的全球性网络。要想找到离您最近的办事处，请访问[赛普拉斯所在地](#)。

产品

汽车级产品

cypress.com/go/automotive

时钟与缓冲器

cypress.com/go/clocks

接口

cypress.com/go/interface

照明与电源控制

cypress.com/go/powerpsoc

存储器

cypress.com/go/memory

PSoC

cypress.com/go/psoc

触摸感应产品

cypress.com/go/touch

USB 控制器

cypress.com/go/USB

无线 / 射频

cypress.com/go/wireless

PSoC® 解决方案

psoc.cypress.com/solutions

PSoC 1 | PSoC 3 | PSoC 4 | PSoC 5LP

赛普拉斯开发者社区

社区 | 论坛 | 博客 | 视频 | 培训

技术支持

cypress.com/go/support

© 赛普拉斯半导体公司，2015。此处所包含的信息可能会随时更改，恕不另行通知。除赛普拉斯产品内嵌的电路外，赛普拉斯半导体公司不对任何其他电路的使用承担任何责任。也不会根据专利或其他权利以明示或暗示的方式授予任何许可。除非与赛普拉斯签订明确的书面协议，否则赛普拉斯不保证产品能够用于或适用于医疗、生命支持、救生、关键控制或安全应用领域。此外，对于可能发生运转异常和故障并对用户造成严重伤害的生命支持系统，赛普拉斯不授权将其产品用作此类系统的关键组件。若将赛普拉斯产品用于生命支持系统中，则表示制造商将承担因此类使用而招致的所有风险，并确保赛普拉斯免于因此而受到任何指控。

所有源代码（软件和/或固件）均归赛普拉斯半导体公司（赛普拉斯）所有，并受全球专利法规（美国和美国以外的专利法规）、美国版权法以及国际条约规定的保护和约束。赛普拉斯据此向获许可者授予适用于个人的、非独占性、不可转让的许可，用以复制、使用、修改、创建赛普拉斯源代码的派生作品、编译赛普拉斯源代码和派生作品，并且其目的只能是创建自定义软件和/或固件，以支持获许可者仅将其获得的产品依照适用协议规定的方式与赛普拉斯集成电路配合使用。除上述指定的用途外，未经赛普拉斯明确的书面许可，不得对此类源代码进行任何复制、修改、转换、编译或演示。

免责声明：赛普拉斯不针对此材料提供任何类型的明示或暗示保证，包括（但不限于）针对特定用途的适销性和适用性的暗示保证。赛普拉斯保留在不做出通知的情况下对此处所述材料进行更改的权利。赛普拉斯不对此处所述之任何产品或电路的应用或使用承担任何责任。对于可能发生运转异常和故障，并对用户造成严重伤害的生命支持系统，赛普拉斯不授权将其产品用作此类系统的关键组件。若将赛普拉斯产品用于生命支持系统中，则表示制造商将承担因此类使用而招致的所有风险，并确保赛普拉斯免于因此而受到任何指控。

产品使用可能适用于赛普拉斯软件许可协议的限制。